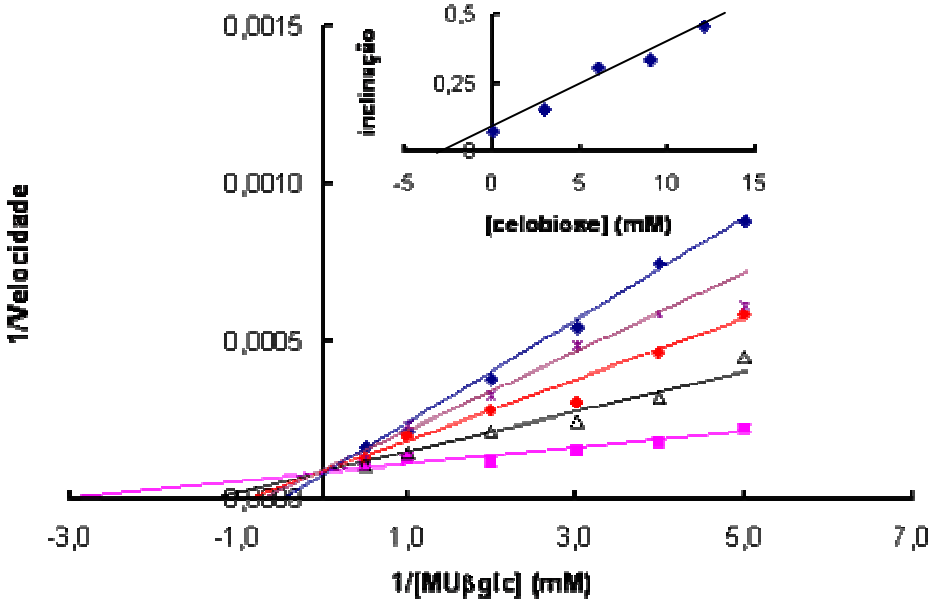

Figura 13: Inibição por celobiose da hidrólise de MUβglc pela Sfβgli50 selvagem. Os plotes de Lineweaver-Burk foram feitos para diferentes concentrações de substrato em cada concentração do inibidor (■ = 0mM, △ = 3mM, ● = 6mM, ⋆= 9mM e ◆ = 12mM). Inserção: replote das inclinações calculadas dos plotes de Lineweaver-Burk *versus* a concentração do inibidor.

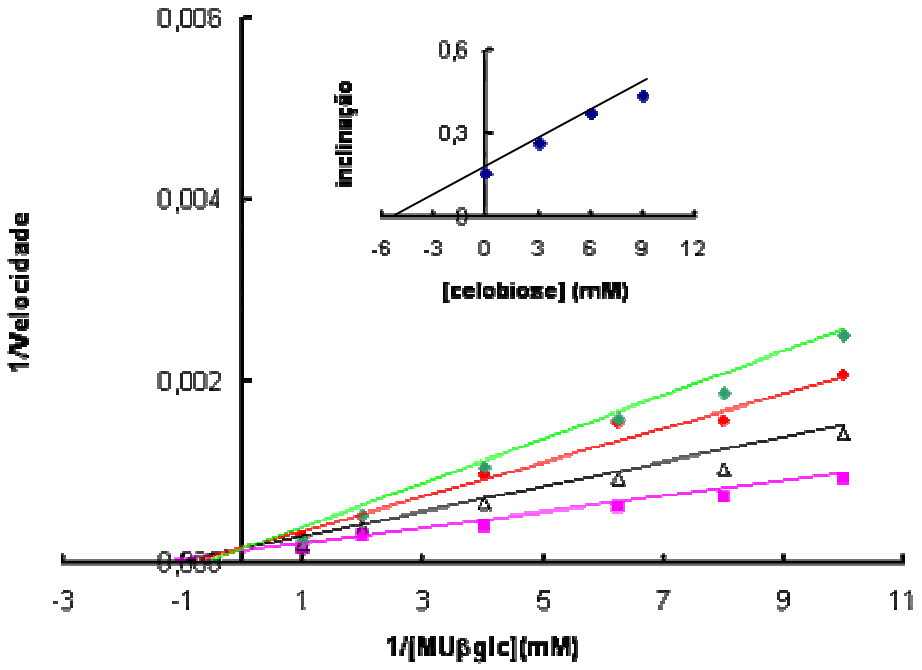

Figura 14: Inibição por celobiose da hidrólise de MUβglc pela Sfβgli50 mutante ($Y_{456}A$). Os plotes de Lineweaver-Burk foram feitos para diferentes concentrações de substrato em cada concentração do inibidor (■ = 3mM, △ = 6mM, ● = 9mM e ◆ = 12 mM). Inserção: replote das inclinações calculadas dos plotes de Lineweaver-Burk *versus* a concentração do inibidor.

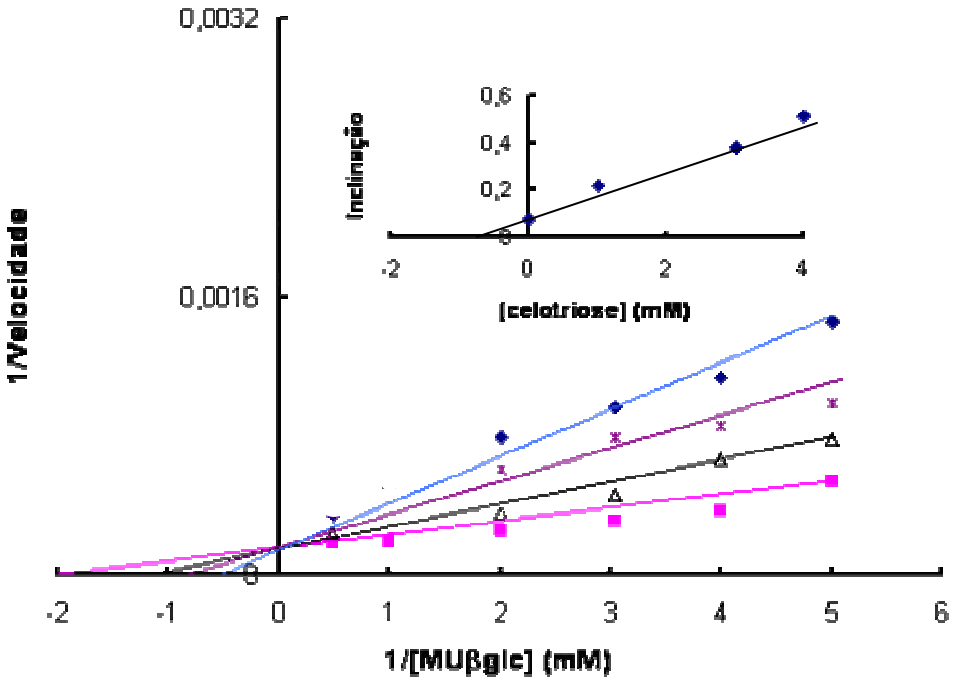

Figura 15: Inibição por celotriose da hidrólise de MUβglc pela Sfβgli50 selvagem. Os plotes de Lineweaver-Burk foram feitos para diferentes concentrações de substrato em cada concentração do inibidor. (■ = 0mM, △ = 1mM, ★ = 2mM e ◆ = 3mM): Inserção replote das inclinações calculadas dos plotes de Lineweaver-Burk *versus* a concentração do inibidor.